

بِسْمِ اللَّهِ الرَّحْمَنِ الرَّحِيمِ



دانشکده فنی و مهندسی

بخش مهندسی معدن

پایان نامه تحصیلی برای دریافت درجه کارشناسی ارشد رشته مهندسی معدن
گرایش مکانیک سنگ

تحلیل پایداری دیوارهای نهایی و پله‌های آنومالی C شمالي معادن سنگ آهن

سنگان با استفاده از روش‌های تحلیلی و آماری

استاد راهنما :

دکتر حسین توکلی

مؤلف :

رامین زنگنه

شهریورماه ۱۳۹۰

تقدیم به :

پدر بزرگوارم

مادر دلسوزم

و همسر مهربانم

تشکر و قدردانی :

خداوند را شاکرم که در تمامی لحظات زندگی پشتیبانم بوده است. اکنون که با الطاف بی دریغ آن ذات بی همتا گامی دیگر در تحصیل علم برداشتهام بر خود واجب می دانم که در ابتدا از زحمات پدرم، مادرم، همسرم و برادرانم که همواره مشوق و پشتیبان من بوده اند تقدیر و تشکر نمایم.

از استاد ارجمندم جناب آقای **دکتر حسین توکلی** که راهنمایی های بی دریغ و ارزشمند ایشان راهگشای بنده در تهیه این پایان نامه بوده است صمیمانه سپاسگزاری می کنم.

در ادامه از تمامی دوستان بخصوص آقای **مهندس مهدی کمالی** که در تهیه این پایان نامه بنده را یاری نمودند، قدردانی می نمایم.

چکیده:

فعالیت‌های گوناگون مهندسی نیازمند حفریات در سنگ‌ها و خاکریزها می‌باشد و معادن رو باز نیز یکی از این فعالیت‌ها است که وجود آنها برای تولید مواد خام صنعت ضروری است. برای رسیدن به حداکثر ذخیره موجود در معادن ملزم به کاهش عرض پله‌ها و نیز افزایش شبیب دیواره‌ها می‌باشیم و این امر وجود مطالعات ژئوتکنیکی و بررسی‌های پایداری دیواره‌ها را می‌طلبد. بررسی پایداری دیواره‌ها با روش‌های مختلف قابل اجرا می‌باشد که در این پایان نامه ابتدا با استفاده از روش‌های سینماتیکی دسته درزه‌های دارای پتانسیل ریزش در دو منطقه جنوبی و شمالی از توده C شمالی معادن سنگ آهن سنگان شناسایی شده و نوع ریزش‌ها مشخص می‌گردد. در ادامه با روش‌های تحلیلی (تعادل حدی) وجود این نوع ریزش‌ها بصورت قطعی بررسی می‌گردد و در نهایت با استفاده از روش‌های احتمالاتی به بررسی احتمال ریزش در هر منطقه خواهیم پرداخت.

کلید واژه: مطالعات ژئوتکنیکی، روش‌های سینماتیکی، روش‌های تحلیلی، روش‌های احتمالاتی

فهرست مطالب

• فصل اول: مقدمه و کلیات

۲	- ۱-۱- مقدمه
۳	- ۱-۱-۱- داده های طراحی
۳	- ۱-۱-۲- روش های طراحی
۳	- ۱-۲-۱- مختصری از معادن سنگ آهن سنگان
۵	- ۱-۲-۱- موقعیت جغرافیایی و شرایط آب و هوایی
۵	- ۱-۲-۲- خصوصیات زمین شناسی
۶	- ۱-۲-۳- شرایط کانی شناسی و سنگ شناسی
۷	- ۱-۴- زمین شناسی ناحیه ای
۸	- ۱-۵- مورفولوژی منطقه
۸	- ۱-۶- مطالعات و اهداف طرح

• فصل دوم: نحوه برداشت خواص توده سنگ

توضیح روش های تحلیل پایداری شیب و انواع ریزش ها

۱۲	- ۱-۱- استانداردهای توصیف توده سنگ
۱۲	- ۱-۱-۱- جهت داری
۱۲	- ۱-۱-۲- فاصله داری
۱۳	- ۱-۱-۳- تداوم ناپیوستگی
۱۴	- ۱-۱-۴- زبری
۱۵	- ۱-۱-۵- مقاومت دیواره
۱۶	- ۱-۱-۵-۱- استفاده از درجه هوازدگی برای توصیف توده سنگ
۱۷	- ۱-۱-۵-۲- استفاده از تست شاخص دستی برای تعیین مقدار تقریبی مقاومت دیواره درزه ها
۱۷	- ۱-۱-۵-۳- استفاده از تست چکش اشمیت
۱۸	- ۱-۱-۶- دهانه درزه
۱۹	- ۱-۱-۷- پر کننده
۱۹	- ۱-۱-۸- نشت
۲۱	- ۱-۱-۹- تعداد دسته درزه (ناپیوستگی)
۲۲	- ۱-۱-۱۰- ابعاد بلوک
۲۳	- ۱-۱-۱۱- روش های تحلیل پایداری شیب های سنگی

۱-۲-۲	- تحلیل پایداری شیب های سنگی با استفاده از روش های مرسوم (ستّتی)	۲۳
۱-۲-۲	- روش تحلیل سینماتیکی	۲۵
۱-۲-۲	- ریزش صفحه ای (Planar)	۲۶
۱-۲-۲	- ریزش گوه ای (Wedge)	۲۶
۱-۲-۲	- ریزش واژگونی (Toppling)	۲۸
۱-۲-۲	- روش تحلیل تعادل حدّی	۲۹
۱-۲-۲	- شکست صفحه ای	۲۹
۱-۲-۲	- شکست گوه ای	۳۲
۱-۲-۲	- ریزش واژگونی	۳۸
۱-۲-۲	- ریزش دایره ای (قاشقی)	۴۷
۱-۲-۲	- روش های عددی	۵۰
۱-۲-۲	- رویکرد پیوسته	۵۲
۱-۲-۲	- رویکرد ناپیوسته	۵۳
۱-۲-۲	- روش المان تفاضلی	۵۳
۱-۲-۲	- تحلیل تغییرشکل ناپیوستگی ها (DDA)	۵۶
۱-۲-۲	- کدهای جریان ذره	۵۶
۱-۲-۲	- روش هیرید	۵۷
۱-۲-۲	- روش احتمالاتی	۵۷
۱-۲-۲	- روش مونت کارلو	۵۹
۱-۲-۲	- روش لاتن هیرکوب	۶۰

• فصل سوم: ارائه نتایج

ب) کاهش ارتفاع دیواره	67
ج) کاهش زاویه شیب رخساره	68
۳-۱-۳- تحلیل پایداری شیب دیواره جنوبی توده C شمالی با استفاده از روش احتمالاتی	69
۳-۱-۳-۱- بررسی احتمال ریزش تک پله دیواره جنوبی	69
الف) تک پله در شرایط خشک	69
ب) تک پله با درنظر گرفتن آب	71
۳-۱-۳-۲- بررسی احتمال ریزش دیواره نهایی	72
۳-۲- بررسی شرایط پایداری در منطقه شمالی از توده C شمالی	75
۳-۲-۱- بررسی سینماتیکی	75
۳-۲-۲- بررسی های تعادل حدی برای منطقه شمالی	78
۳-۲-۲-۳- بررسی پایداری تک پله ها با استفاده از روش تعادل حدی	79
الف) بررسی با فرض یکسان بودن زوایای اصطکاک دو دسته درزه	79
ب) بررسی با فرض متفاوت بودن زاویه اصطکاک دو دسته درزه و وجود نیروی چسبندگی	80
۳-۲-۲-۴- بررسی پایداری دیواره نهایی با استفاده از روش تعادل حدی	81
۳-۲-۳- بررسی احتمال ریزش دیواره شمالی	81
۳-۲-۳-۱- بررسی احتمال ریزش تک پله ها	81
الف) بررسی با فرض یکسان بودن زوایای اصطکاک دو دسته درزه	81
ب) بررسی با فرض متفاوت بودن زاویه اصطکاک دو دسته درزه و وجود نیروی چسبندگی	83
۳-۲-۳-۲- بررسی احتمال ریزش دیواره نهایی	84
الف) بررسی با فرض یکسان بودن زوایای اصطکاک دو دسته درزه	84
ب) بررسی با فرض متفاوت بودن زوایای اصطکاک دو دسته درزه و وجود نیروی چسبندگی	85
• فصل چهارم: نتیجه گیری	87
منابع	90
پیوست	92

فهرست جداول

عنوان	صفحه
جدول ۱-۱: تخمین میزان ذخایر سنگ آهن در ایران	۴
جدول ۱-۲: مشخصات گمانه‌های ژئوتکنیکی حفر شده در توءه C شمالی	۱۰
جدول ۲-۱: توصیف کمی فاصله داری	۱۳
جدول ۲-۲: توصیف کمی تداوم ناپیوستگی‌ها	۱۳
جدول ۲-۳: توصیف کیفی زبری	۱۵
جدول ۲-۴: روش پیشنهادی توصیف کیفی ناپیوستگی‌ها	۱۶
جدول ۲-۵: تست‌های شاخص دستی جهت تعیین مقاومت دیواره ناپیوستگی‌ها	۱۷
جدول ۲-۶: توصیف کمی دهانه درزه	۱۸
جدول ۲-۷: تشخیص صحرایی پرکننده‌ها	۱۹
جدول ۲-۸: توصیف تراوش در ناپیوستگی‌ها	۲۰
جدول ۲-۹: توصیف دسته درزه‌های محلی	۲۱
جدول ۲-۱۰: تعیین انداه بلوک بر حسب عدد خجمی درزه	۲۲
جدول ۲-۱۱: روش‌های سنتی تحلیل پایداری شیب‌های سنگی	۲۳
جدول ۲-۱۲: روش‌های عددی تحلیل پایداری شیب‌های سنگی	۵۱

فهرست اشکال

عنوان	صفحه
شکل ۱-۱: موقعیت جغرافیایی پروژه سنگان	۴
شکل ۱-۲: مقایسه میزان ذخایر زمین شناسی معادن سنگ آهن کشور	۵
شکل ۱-۳: جانمایی توده های اصلی معادن سنگ آهن سنگان	۹
شکل ۱-۴: پیت نهایی طراحی شده توسط شرکت دانیلی	۱۰
شکل ۱-۱: منطقه دارای پتانسیل ریزش صفحه ای	۲۶
شکل ۱-۲: منطقه دارای پتانسیل ریزش گوه ای	۲۷
شکل ۱-۳: تعیین نحوه لغزش گوه بر روی دو صفحه ناپیوستگی	۲۸
شکل ۱-۴: منطقه دارای پتانسیل ریزش واژگونی	۲۸
شکل ۲-۱: نمایش شرایط عمومی برای شکست صفحه ای	۲۹
شکل ۲-۲: هندسه شبیه برای لغزش صفحه ای	۳۰
شکل ۲-۳: دیواره بدون ترک کششی که پتانسیل ریزش صفحه ای دارد	۳۱
شکل ۲-۴: شرایط هندسی لازم برای ریزش گوه ای	۳۲
شکل ۲-۵: نمایش نیروهایی که در محاسبه مقدار ضریب ایمنی مؤثرند	۳۳
شکل ۲-۶: نمایش مقادیر فاکتور گوه (K) به عنوان تابعی از هندسه گوه	۳۴
شکل ۲-۷: هندسه گوه مورد تحلیل پایداری	۳۵
شکل ۲-۸: شبکه استرونوت جهت یافتن داده های لازم برای تحلیل پایداری گوه	۳۷
شکل ۲-۹: نمونه ای از نمودارهای تحلیل پایداری گوه تنها با توجه به میزان زوایای اصطکاک	۳۷
شکل ۲-۱۰: مدل کامپیوتری ریزش واژگونی	۳۸
شکل ۲-۱۱: انواع ریزش های واژگونی	۳۹
شکل ۲-۱۲: انواع ریزش واژگونی ثانویه	۴۰
شکل ۲-۱۳: شرایط سینماتیکی لازم برای ریزش واژگونی خمی	۴۱
شکل ۲-۱۴: مدل تحلیل تعادل حدی شکست واژگونی	۴۲
شکل ۲-۱۵: شرایط تعادل حدی برای واژگونی و لغزش در ۱۱امین بلوک	۴۵
شکل ۲-۱۶: مدل های جریان آب زیرزمینی	۴۹
شکل ۲-۱۷: ترتیب اجرای مراحل برای یافتن ضریب ایمنی در شکست قاشقی	۵۰
شکل ۲-۱۸: اجزای اصلی یک مدل دینامیکی	۵۵
شکل ۲-۱۹: مدل سه بعدی المان تفاضلی برای دیواره سنگی در معادن روباز	۵۶

۵۸	شکل ۲۴-۲: تعریف احتمال ریزش
۶۰	شکل ۲۵: پنج تکرار نمونه گیری به روش مونت کارلو
۶۰	شکل ۲۶: پنج تکرار نمونه گیری به روش لاتین هیپر کوب
۶۳	شکل ۳-۱: شرایط سینماتیکی ریزش صفحه‌ای در تک پله دیواره جنوبی
۶۳	شکل ۳-۲: شرایط سینماتیکی ریزش گوهای در تک پله دیواره جنوبی
۶۴	شکل ۳-۳: نمایش امکان ریزش صفحه‌ای دسته درزه دوم در دیواره نهایی
۶۴	شکل ۳-۴: نمایش عدم امکان ریزش گوهای در دو دسته درزه مورد بررسی
۶۵	شکل ۳-۵: نمایش شرایط تک پله خشک
۶۶	شکل ۳-۶: هندسه دیواره نهایی برای منطقه جنوبی
۶۷	شکل ۳-۷: نمودار حساسیت ضریب ایمنی نسبت به تغییرات سطح آب زیرزمینی
۶۸	شکل ۳-۸: نمودار حساسیت ضریب ایمنی نسبت به تغییرات ارتفاع دیواره نهایی
۶۸	شکل ۳-۹: نمودار حساسیت ضریب ایمنی نسبت به تغییرات شبی دیواره نهایی
۷۰	شکل ۴-۴: نمودار توزیع احتمال مقادیر چسبندگی
۷۰	شکل ۱۰-۴: نمودار توزیع احتمال مقادیر زوایای ناپیوستگی‌ها
۷۰	شکل ۱۱-۴: نمودار توزیع احتمال مقادیر زاویه اصطکاک داخلی
۷۱	شکل ۱۲-۴: نمودار توزیع احتمال ضریب ایمنی برای تک پله خشک
۷۲	شکل ۱۳-۴: نمودار توزیع احتمال ضریب ایمنی برای تک پله اشباع
۷۲	شکل ۱۴-۴: نمودار توزیع احتمال سطح آب زیرزمینی
۷۳	شکل ۱۵-۴: نمودار توزیع احتمال ضریب ایمنی بالاتر از یک
۷۴	شکل ۱۶-۴: نمودار توزیع احتمال ضریب ایمنی بالاتر از ۱/۵
۷۴	شکل ۱۷-۴: آنالیز حساسیت پارامترهای مؤثر بر ضریب ایمنی
۷۶	شکل ۱۸-۳: شرایط سینماتیکی ریزش صفحه‌ای در تک پله دیواره شمالی
۷۶	شکل ۱۹-۳: شرایط سینماتیکی ریزش گوهای در تک پله دیواره شمالی
۷۷	شکل ۲۰-۳: نمایش عدم امکان ریزش صفحه‌ای دیواره نهایی
۷۸	شکل ۲۱-۳: نمایش امکان ریزش گوهای در دو دسته درزه مورد بررسی
۸۰	شکل ۲۲-۳: نمودار حساسیت ضریب ایمنی نسبت به تغییرات زاویه اصطکاک داخلی
۸۲	شکل ۲۳-۳: نمودار توزیع احتمال مقادیر زاویه اصطکاک داخلی
۸۲	شکل ۲۴-۳: نمودار توزیع احتمال ضریب ایمنی بالای یک
۸۳	شکل ۲۵-۳: نمودار توزیع احتمال ضریب ایمنی بالای ۱/۵

۸۳	شکل ۳-۲۶: نمودار توزیع احتمال ضریب اصطکاک دسته درزه اول
۸۳	شکل ۳-۲۷: نمودار توزیع احتمال ضریب اصطکاک دسته درزه دوم
۸۴	شکل ۳-۲۸: نمودار توزیع احتمال نیروی چسبندگی دو دسته درزه
۸۴	شکل ۳-۲۹: نمودار توزیع احتمال ضریب ایمنی
۸۵	شکل ۳-۳۰: نمودار توزیع احتمال ضریب ایمنی بالای یک
۸۵	شکل ۳-۳۱: نمودار توزیع احتمال ضریب ایمنی بالای ۱/۵
۸۶	شکل ۳-۳۲: نمودار توزیع احتمال ضریب ایمنی بالای ۱/۵

فصل اول:

مقدمه و کلیات

۱-۱- مقدمه:

فعالیت‌های گوناگون مهندسی نیازمند حفریات در سنگ‌ها و خاکریزها می‌باشد. بطور مثال در پروژه‌های مربوط به مهندسی عمران از قبیل بزرگراه‌ها، ترانشه‌های راه آهن، سدها جهت تولید قدرت و تأمین آب و نیز فعالیت‌های صنعتی و شهری حفریات در سنگ و خاک بسیار متداول می‌باشد. در زمینه معدنکاری، معادن روباز به عنوان بخش اصلی برای تولید محصولات معدنی جهان محسوب می‌شوند (دانکن، ۲۰۰۴). در معادن روباز، دیواره‌های استخراجی در مناطقی که سنگ دارای کیفیت بالا می‌باشد، می‌تواند دارای شب تقریباً قائم باشد و در مناطقی که سنگ با کیفیت وجود ندارد برای ایجاد شرایط پایدار باید شب نهایی دیواره کمتر از ۳۰ درجه درنظر گرفته شود (ابرهاردت، ۲۰۰۳).

علاوه بر حفریات دست بشر، در مناطق کوهستانی توجه به پایداری دیواره‌های سنگی طبیعی در برخی موارد باید مورد توجه قرار گیرد. برای مثال، با عبور بزرگراه‌ها و نیز خطوط راه آهن از دره‌های حاصل از رودخانه‌ها، به دلیل برش‌ها و پاشنه تراشی دیواره‌های این دره‌ها، امکان ایجاد شرایط ناپایدار وجود دارد (دانکن، ۲۰۰۴). یکی از فاکتورهایی که ممکن است بر پایداری شب‌های طبیعی سنگی تأثیرگذار باشد، وضعیت تکتونیکی آن محل می‌باشد (هادسون، ۱۹۹۷).

میزان اهمیت پایدارسازی دیواره‌های سنگی بسته به دو عامل می‌باشد. در وهله اول نوع پروژه بر نحوه پایدارسازی این دیواره‌ها تأثیر می‌گذارد و علاوه بر آن، پی‌آمدہای ناشی از شکست در صورت عدم پایدارسازی نیز بر نحوه اجرای عملیات پایدارسازی مؤثر است. بطور مثال برای ترانشه‌هایی چون بزرگراه‌هایی که حجم بالایی از ترافیک دارند، پایدار ماندن شب نهایی دیواره امری ضروری است و این امر اغلب نیازمند دقت در عملیات آتشباری در حین اجرای پروژه و نیز نصب پایدارکننده‌هایی چون بولت است که عمر مفید این نگهدارنده‌ها فقط ۱۰ تا ۳۰ سال است و بسته به آب و هوا و نرخ هوازدگی سنگ، ممکن است نیاز به نگهدارنده‌ی دائم باشد (دانکن، ۲۰۰۴).

در کل می‌توان گفت که ضریب اینمی برای معادن روباز در طراحی ها معمولاً $1/2$ تا $1/4$ درنظر گرفته می‌شود. با این مقدار ضریب اینمی باید جابجایی‌های شب و امکان ریزش‌های بخشی دیواره را پذیرفت. در طراحی شب‌های ترانشه‌ها معمولاً انعطاف‌پذیری کمی برای تطبیق جهت شب دیواره‌ها با شرایط زمین شناسی که با این حفریات برخورد دارند، وجود دارد پس در چنین شرایطی طراحی شب‌ها باید بگونه‌ای صورت پذیرد که با شرایط زمین شناسی که در مسیر حفر ترانشه وجود دارند، تطابق کامل داشته باشد (ابرهاردت، ۲۰۰۳).

از آنجا که معادن روباز باید بگونه‌ای جانمایی شوند که در داخل ماده معدنی واقع شوند، پس طراحی این معادن باید با شرایط زمین شناسی داخل پیت استخراجی مطابقت نماید و این امر مستلزم طراحی‌های

زیادی در اطراف پیت استخراجی می باشد (دانکن، ۲۰۰۴). یکی از رایج ترین و مهمترین نیازهای طراحی ترانشه‌ها این است که بتوان حداکثر شیب پایدار را بوجود آورد که با افزایش شیب امکان ایجاد حداکثر ارتفاع برای این دیواره‌ها میسر است. در مراحل طراحی باید به دو فاکتور اقتصادی بودن و ایمن بودن بطور همزمان توجه نمود. ترانشه‌های دارای شیب بیشتر، معمولاً در اجرا از ترانشه‌های مسطح ارزان‌ترند چون با افزایش شیب ترانشه‌ها از میزان حفریات لازم و نیز مساحت سطح بریده شده کاهش می‌یابد و بوضوح به تجهیزات کمتری نیاز خواهد بود. از طرفی، با افزودن شیب ترانشه‌ها بر هزینه‌های لازم جهت پایدارسازی این دیواره‌ها افزوده می‌گردد (هادسون، ۱۹۹۷).

طراحی شیب‌های سنگی مستلزم وجود داده‌های ژئوتکنیکی، تعیین روش‌های مناسب طراحی و اجرا و نیز نگهدارنده‌های مناسب برای شرایط خاص هر منطقه می‌باشد. پس برای طراحی یک دیواره سنگی باید چندین مرحله را پیمود که در زیر به اختصار آمده است (دانکن، ۲۰۰۴):

۱-۱-۱-۵-داده‌های طراحی:

الف) داده‌های زمین شناسی: این داده‌ها شامل جهت‌یابی ناپیوستگی‌ها و خواص آنها از قبیل طول، فاصله، زبری و پرشدگی می‌باشند.

ب) مقاومت سنگ: این اطلاعات باید شامل مقاومت برشی سطوح ناپیوستگی‌ها و مقاومت فشاری سنگ بکر می‌باشد.

ج) شرایط آب زیرزمینی: برای طراحی باید از سطح آب زیرزمینی و مراحل زهکشی این شیب‌ها اطلاعات کافی داشت.

۱-۱-۲-روش‌های طراحی:

روش‌های طراحی برای شیب‌های سنگی به دو بخش اصلی تقسیم می‌گردد که عبارتند از:

الف) روش‌های تحلیل تعادل حدی

ب) روش‌های تحلیل عددی

روش‌های تعادل حدی برای محاسبه ضربی اینمی شیب‌های سنگی می‌باشد که احتمال ریزش‌های گوناگون از قبیل صفحه‌ای، گوهای، واژگونی و دایره‌ای در آنها وجود دارد که نوع ریزش بسته به هندسه شیب می‌باشد. ولی در روش‌های عددی، تنش‌ها و کرنش‌های موجود نیز وارد مدل می‌گردد و پایداری شیب سنگی با مقایسه تنش‌ها و کرنش‌ها در برابر مقاومت سنگ ارزیابی می‌گردد (ابرهارت، ۲۰۰۳).

۲-۱- مختصی از معادن سنگ آهن سنگان:

معدن سنگ آهن سنگان با ذخیره زمین شناسی $1/2$ میلیارد تن از نظر کمی، دومین معدن بزرگ سنگ آهن در کشور بوده و به عنوان بزرگترین پروژه ملی شرق کشور در فاصله 300 کیلومتری جنوب شرقی شهر مشهد و 16 کیلومتری شمال شهر سنگان از توابع شهرستان خوف واقع شده است (پوریاقر، ۱۳۸۵).

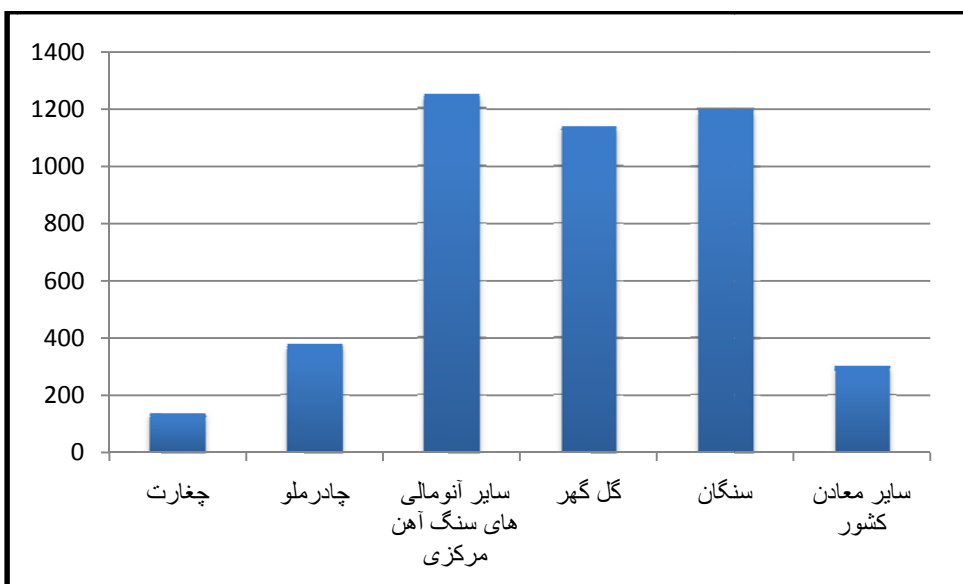


شکل ۱- موقعیت جغرافیایی پروژه سنگان (۲۰۰۷، AMEC)

براساس نتایج آخرین مطالعات انجام شده و برآوردهای اولیه که در جدول ۱-۱ نمایش داده شده است، بیش از یک چهارم ذخایر سنگ آهن کشور به معادن سنگ آهن سنگان تعلق دارد و همانطور که در شکل ۲-۱ مشاهده می شود با 50 میلیون تن اختلاف از نقطه نظر ذخایر زمین شناسی نسبت به سایر معادن کشور در رده دوم قرار گرفته است.

جدول ۱-۱: تخمین میزان ذخایر سنگ آهن در ایران (استاک، ۱۳۹۰)

ردیف	نام معدن	میزان ذخیره (میلیون تن)		
		زمین شناسی	قطعی	احتمالی
۱	چغارت	۱۳۸	۱۲۱	۱۷
۲	چادرملو	۳۷۷	۳۳۰	۴۷
۳	سایر آنومالی های سنگ آهن مرکزی	۱۲۵۰	۳۷۶	۸۷۴
۴	گل گهر	۱۱۴۰	۸۸۶	۲۵۴
۵	سنگان	۱۲۰۰	۳۷۵	۸۲۵
۶	سایر معادن کشور	۳۰۰	۱۰۰	۲۰۰
مجموع			۴۴۰۵	۲۱۸۸



شکل ۱-۲: مقایسه میزان ذخایر زمین شناسی معادن سنگ آهن کشور

معدن سنگ آهن سنگان برای اولین بار و در حدود ۶۰۰ سال پیش با عنوان معادن سنگ آهن خوف در کتاب نزهت القلوب حمدالله مستوفی معرفی گردید.

۱-۲-۱- موقعیت جغرافیایی و شرایط آب و هوایی:

معدن سنگ آهن سنگان در استان خراسان رضوی و در ۳۰۰ کیلومتری جنوب مشهد، ۵۸ کیلومتری جنوب تایباد، ۴۰ کیلومتری شرق خوف و ۱۶ کیلومتری شمال شهر سنگان از توابع شهرستان خوف قرار دارد و از نظر زمین شناسی در بلوك جنوبی رشته کوه های میانی چهارگوش تایباد واقع شده است. کانسار سنگان بین طول های ۲۶۵۰۰ تا ۳۸۱۷۵۰۰ و عرض ۳۸۰۵۶ تا ۴۶۶۵۰۰ بر مبنای مختصات U.T.M قرار گرفته و بلندترین نقطه ارتفاعی در محدوده کانسار، در قسمت شرقی کوه طالب بوده که به دلیل شباهت به نوک خروس به نام نول خروس معروف است و حدود ۱۸۱۲ متر از سطح دریا ارتفاع دارد. آب و هوای این ناحیه از نوع خشک کویری بوده و متوسط بارندگی سالیانه ۲۰۰ میلی متر و فصول ریزش های جوی از آذرماه تا اوایل اردیبهشت ماه می باشد. این منطقه در معرض بادهای موسوم به بادهای ۱۲۰ روزه سیستان قرار دارد و سرعت باد در این ناحیه نسبتاً زیاد بوده و بطور متوسط ۷۰ کیلومتر در ساعت است. حداکثر درجه حرارت در این منطقه ۳۵ درجه برآورد شده است (استاک، ۱۳۹۰).

۱-۲-۲- خصوصیات زمین شناسی:

منطقه مورد بحث در سری تشکیلاتی قرار دارد که از نظر ساختمانی در قسمت شرق ایران واقع شده است و تماماً از نظر رخساره و ساختمانی از ویژگی های خاص این قسمت پیروی می کند. بر اساس تقسیم بندی های انجام شده این کانسار جزء ایران مرکزی رده بندی می شود. تعداد نسبتاً زیادی از رخمنون های کوچک و بزرگ کانسنگ آهن در میان بلوك جنوبی رشته کوه اصلی و در بین طبقاتی که بر اساس

نقشه‌های زمین شناسی به پروتزوژئیک نسبت داده شده قرار گرفته است. از جمله ویژگی‌های این کانسار عیار بالا و گسترش زیاد و حجمی بودن مواد معدنی با مقادیر بسیار ناچیز عناصر مضر از جمله فسفر است که اهمیت ویژه‌ای به کانسار داده است.

معدن سنگ آهن سنگان به سه منطقه تقسیم می‌گردد که در زون مستطیل شرقی-غربی محصور می‌گردد که این مناطق عبارتند از:

۱- آنومالی‌های منطقه غربی شامل محدوده کانسار سنگ آهن سنگان با طول ۲۶ کیلومتر که در ناحیه کوه طالب واقع است و متشکل از چهار توده معدنی می‌باشد.

۲- آنومالی‌های منطقه مرکزی شامل محدوده آنومالی‌های دردوى و باگك که طول آن دو کیلومتر است.

۳- آنومالی‌های منطقه شرقی شامل مناطق فرزنه، سنجده و سایز رخنمون‌های پراکنده که طول آن ۱۷ کیلومتر است.

بیشتر نهشته‌های بزرگ کانسنگ آهن در منطقه آنومالی‌های غربی و در ناحیه کوه طالب واقع شده و محدوده‌ای به درازای ۴/۱ کیلومتر و پهنه‌ای ۲ کیلومتر را اشغال می‌کند که به نام کانسار سنگ آهن سنگان مرسوم گردیده است.

۱-۲-۳- شرایط کانی شناسی و سنگ شناسی:

کانی اصلی این کانسار مگنتیت می‌باشد. سنگ آهن در قسمت‌هایی همراه با آثاری از سولفیدها مثل پیروتیت، پیریت، کالکوپیریت، اسفالریت و گالن می‌باشد. کربنات مس نیز به صورت مالاکیت و آزوریت در قسمت‌هایی در سطح و شکستگی‌ها دیده می‌شود. تأثیر فرسایش کوارتزی بر روی کانسار باعث تخریب شده و در قسمت دامنه جنوب غربی کوه طالب و نواحی پراکنده دیگر وسعت‌های زیادی توسط پلاسرهای بزرگ آهن پوشیده شده است.

عدسی‌های سنگ آهن پرعيار و کم عیار بصورت بین لایه‌ای با آهک‌های باطله و یا کم مینرالیزه قرار گرفته‌اند. گانگ‌های عمدۀ در این کانسار عبارتند از کلسیت، گارنت، پیریت، کالکوپیریت و کوارتز. چند نوع اصلی سنگ در منطقه وجود دارد. به علت وجود چندین گسل در منطقه، در بعضی قسمت‌ها بهم ریختگی شدیدی دیده می‌شود. همچنین به دلیل وجود پوشش خاک در بعضی قسمت‌ها تشخیص کنتاک مشخص دشوار است. این نوع رخساره‌های سنگی از قدیم به جدید عبارتند از سیلت استون، شیل، ریولیت و اسکارن.

کانسار سنگان با توجه به کانی‌سازی آن، از نوع سنگ آهن اسکارنی می‌باشد که قسمتی از روند شرق به غرب رشته کوه طالب را تشکیل می‌دهد. ساختار زمین‌شناسی مسان دندۀ کنتاکت ماده معدنی و باطله از شمال به جنوب بصورت زیر می‌باشد:

الف) گرانیت‌های سرنوسر

ب) کمپلکس کوارتزیت، ماسه سنگ و سیلت استون

ج) واحد اسکارنی شمالی (آنومالی C شمالی)

د) شیل و سیلت استون

ه) واحد اسکارنی جنوبی (آنومالی‌های A، B و C جنوبی)

و) مجموعه ولکانیکی

انواع زون‌های سنگ آهن که در سنگان تعریف شده‌اند بصورت زیر می‌باشند:

۱- زون آهن تودهای پر عیار (MARC)

۲- زون آهن پراکنده کم عیار (MAPR)

۳- زون اکسیده

۴- زون سولفوره

۱-۴-۴- زمین‌شناسی ناحیه‌ای:

پدیدۀ فیزیکی کشخض در سنگان روند شمال غرب-جنوب شرق رشته کوه‌های آن است که قسمتی از یک حوضه یا رشته کوه‌های یک حوضه است. رشته کوه‌های متشکل از سنگ‌های دگرگون شده پر کامبرین، رسوبات پالئوزوئیک و مژوزوئیک سنگ‌های ولکانیکی پالئوسن تا ائوسن می‌باشد.

وجود چندین قسمت از سنگ‌های حاوی فسیل در سنگان دلالت بر این دارد که کمربند شرقی- غربی این کانسار متعلق به دورۀ مژوزوئیک می‌باشد. همچنین قطعاتی از فسیل در کوه طالب که دال بر سن ژوراسیک یا کرتاسه پائینی می‌باشد، وجود دارند. ضخامت زیادی از سنگ‌های توفی و کنگلومرای ولکانوکلاستیکی در جنوب و غرب آنومالی‌های غربی قرار دارد. سن این سنگ‌ها به پالئوسن- ائوسن نسبت داده شده و به نام ولکانیک‌های ائوسن خوانده می‌شوند. آنومالی‌های غربی از طرف شمال به وسیله گرانیت‌های سرنوسر محدود می‌گردد که دارای روند شرقی- غربی و سن ائوسن بالایی می‌باشند. گرانیت‌های فوق، ولکانیک‌های ائوسن را قطع نموده و کنتاکت متامورفیسم شدیدی در حاشیه آنها مشاهده می‌گردد. کلیه سنگ‌های ائوسن و سنگ‌های قدیمی‌تری از آن بوسیله دائم‌های فسیلی و سیل‌ها با ترکیب داسیتی تا ریولیتی قطع گردیده‌اند.

۱-۲-۵- مورفولوژی منطقه:

به لحاظ کوهستانی بودن، پستی و بلندی‌هایی با شیب تند در منطقه مشاهده می‌گردد. بالاترین ارتفاع در محدوده‌ای که نقشه زمین شناسی ۱:۵۰۰ تهیه شده است، ۱۵۱۰ متر و پائین‌ترین نقطه دارای ارتفاعی نعادل ۱۴۲۰ متر می‌باشد و یک دره اصلی و بزرگ در شمت شمال توده اصلی آهن با امتداد شرقی- غربی با شیب آبراهه معادل ۵/۷ درجه به سمت غرب وجود دارد که حاصل یک گسل بزرگ می‌باشد.

دره‌ای در مقیاس کوچکتر لسبت به دره اصلی در قسمت جنوب غرب توده با امتداد جنوب شرق- شمال غرب با شیب آبراهه به سمت شمال غرب وجود دارد که آبراهه آن پس از طی مسافتی کوتاه به آبراهه اصلی متصل می‌شود. شیب این دره تندتر از دره اصلی بوده و معادل ۱۲/۵ درجه می‌باشد. دره دیگر با شیب تندتر از دو دره فوق الذکر در قسمت شرق توده آهن در جهت جنوب به شمال با شیب آبراهه ۲۱ درجه به سمت شمال می‌باشد که به دره اصلی متصل می‌شود.

۱-۲-۶- مطالعات و اهداف طرح:

عملیات اکتشافات اولیه آن در طول سال‌های ۱۳۵۰ تا ۱۳۵۸ شمسی توسط کارشناسان و نیروهای متخصص شرکت ملی فولاد ایران آغاز شد. بر اساس نتایج حاصله تصمیم گرفته شد که مطالعات تکمیلی اکتشاف و انجام آزمایشات معدنی و فرآوری، مطالعات امکان سنگی، بررسی چرخه تولید، تعیین ظرفیت بهینه، فازبندی تولید، تعیین محصول نهایی و آزمایشات فنی و اقتصادی با بهره‌گیری از آخرین تکنولوژی روز دنیا و استفاده از توانمندی‌های سخت‌افزاری و نرم‌افزاری، به معروف‌ترین شرکت تحقیقاتی سنگ آهن در جهان (شرکت بی اچ پی^۱ استرالیا) سپرده شود. در ادامه شرکت‌های ایریتک ایران، سایمونز^۲ کانادا و بیتمن^۳ آفریقای جنوبی نیز تحت عنوان کنسرسیوم SBI و با درنظر گرفتن جنبه‌های زمین شناسی، ذخایر معدنی و استخراج و فرآوری کانسنگ برای تولید کنسانتره آهن با عیار بالا، در مطالعات و تحقیقات مربوط به معادن سنگ آهن سنگان فعالیت نمودند (پورباقر، ۱۳۸۵).

مطالعات اکتشافی و معدنی در معادن سنگان از نیمه دوم سال ۱۳۶۲ شروع و پس از گذشت حدود ۱۰ سال و طی مراحل مختلف اکتشافی در مقاطع مقدماتی، تفصیلی و همچنین انجام مطالعات معدنی، بررسی‌های آزمایشگاهی و تحقیقات متالوژیکی و نیز مطالعات امکان سنگی با استفاده از کارشناسان داخلی و مشارکت فنی شرکت‌های معتبر خارجی نظیر BHP استرالیا، سایمونز کانادا و بیتمن آفریقای جنوبی در سال ۱۳۷۷ خاتمه یافت. نتایج این مطالعات که با انجام عملیات حفاری مغزه‌گیری، حفر ترانشه، تهیه عکس‌های هوایی، تهیه نقشه‌های زمین شناسی و توپوگرافی، حفر تونل، انجام مطالعات

¹ BHP

² Simonze

³ Bitman